

XTEA의 연관키를 이용한 차분 공격

고영대, 이원일, 홍석희, 이태건, 이상진

고려대학교 정보보호대학원 정보보호연구센터

Related Key Differential Cryptanalysis of XTEA

Young-dai Ko, Won-il Lee, Seok-hie Hong, Tae-geon Lee, Sang-jin Lee

Center for Information of Security of Technologies, Korea University

요약

이 논문에서는 블록 암호 알고리즘인 XTEA에 관한 연관키를 이용한 차분공격에 대하여 설명한다. 이 것은 XTEA 알고리즘이 TEA가 갖고 있는 취약한 키 스케줄을 보완하여 Kelsey 등이 제안한 연관키 공격에 대응하기 위하여 설계 되었지만, 26 라운드로 줄인 XTEA 또한 우리의 연관키를 이용한 차분공격에 안전하지 못하다는 것을 보여준다. 또한 키 스케줄에 의하여 다양하게 변화된 라운드의 XTEA에 관한 연관키 공격이 가능하다. 이 때 필요한 선택평문과 암호화 과정은 각각 2^{185} 과 $2^{115.21}$ 이다.

I. 서론

1. 개요

1997년에 Kelsey 등은 TEA (*Tiny Encryption Algorithm*) [6]의 단순한 키 스케줄을 이용하여 전체 64 라운드에 대한 연관키 공격 [3]을 하였다. 그래서 TEA의 설계자들은 이러한 연관키 공격에 대응하기 위하여 키 스케줄을 변경하고 라운드 함수에도 약간의 변화를 주어 XTEA (*Extend TEA*) [7]를 만들었다. XTEA는 TEA와 마찬가지로 덧셈, XOR 그리고 순환이동 등의 간단한 연산만으로 이루어진 라운드 함수를 사용한 64 라운드 블록암호이다. XTEA의 키 스케줄은 TEA와는 달리 불규칙적으로 이루어져 있다. 이러한 불규칙성으로 인하여 TEA에 적용되었던 연관키 공격에 대해 XTEA는 안전할 수 있었다. 그러나, 우리가 사용한 연관키를 이용한 차분 공격은 26 라운드로 줄인 XTEA에 적용할 수 있고, 이때 필요한 선택평문과 연산량은 각각 2^{185} 과 $2^{115.21}$ 이다.

연관키 공격은 E. Biham이 LOKI를 공격 [5]하면서 처음 제안한 개념으로 LOKI의 키 스케줄이

마스터 키의 순환이동만으로 이루어져 있다는 특성을 이용한 일종의 *Slide* 공격 방법 [8]이다. 이러한 연관키 개념을 이용하여 키 스케줄이 취약한 알고리즘에 대해서 Kelsey 등은 1996년도에 IDEA, G-DES, GOST, SAFER 와 Triple-DES 를 분석 [1]하였고, 다음해인 1997년에는 3-WAY, Biham-DES, CAST, DES-X, NewDES, RC2 그리고 TEA에 관한 연관키 공격을 제시 [3]하였다. 또, 가장 최근에는 G. Jakimoski 등이 연관키를 이용한 불능 차분공격으로 AES-192 에 대한 8 라운드 공격을 하였다.

현재까지 연관키 공격을 포함하여 TEA와 XTEA 알고리즘에 대한 분석은 그다지 많지 않다 (표 1참조). 문덕재 등이 FSE'02에서 불능 차분을 이용하여 12 라운드 TEA와 14 라운드 XTEA에 대한 공격 [4]을 하였고, 올해 ICISC'03에서 홍득조 등이 차분특성을 이용한 15 라운드 XTEA에 대해서, 그리고 부정차분특성을 이용하여 17 라운드 TEA와 23 라운드 XTEA에 대한 공격 ([2])을 제시하였다. 이 논문에서는 홍득조 등이 사용한 부정차분 특성을 이용한 26 라운드 XTEA에 관한 연관키 공격에 대해서 설명할 것이다. 따라

서, 이 논문의 대부분의 표기법 또한 [2]를 따를 것이다.

표 1: TEA와 XTEA에 관한 다양한 공격결과.

구 분	공격방법	라운드	선택평문	복잡도
TEA	연관키[3]	64	2^{34}	2^{34}
	불능차분[4]	12	$2^{52.5}$	2^{34}
	부정차분[2]	17	1920	$2^{123.37}$
XTEA	불능차분[4]	14	$2^{62.5}$	2^{35}
	부정차분[2]	23	$2^{20.55}$	$2^{20.65}$
본 논문	연관키	26	$2^{18.5}$	$2^{115.21}$

이 논문의 본문에서는 우선 XTEA 블록암호에 대해서 간략하게 소개하고 홍득조 등이 사용한 8 라운드 부정차분 특성을 설명한다. 그 다음에 이 논문의 핵심인 연관키 개념을 이용한 26 라운드 XTEA에 차분공격에 대해서 언급한다.

II. 본문

1. XTEA 알고리즘

XTEA는 64-bit 블록과 128-bit 비밀키를 사용하는 64 라운드 Feistel 구조로 이루어진 알고리즘이다. 128-bit 비밀키 K 는 네 개의 32-bit 워드 $K[0], K[1], K[2], K[4]$ 로 나뉘어진 후 키 스케줄에 따라 각각의 라운드에 사용된다. 라운드 상수 $\delta = 0x9e3779b9$ 를 사용하는 라운드 함수 F 는 아래와 같이 구성되어 진다. $1 \leq n \leq 64$ 인 n 에 대해서, 우선 (L_n, R_n) 을 n 번째 라운드의 입력값이라고 하고 (L_{n+1}, R_{n+1}) 을 n 번째 라운드의 출력값이라고 하면 $L_{n+1} = R_n$ 이고 R_{n+1} 은 다음과 같이 계산된다.

$1 \leq i \leq 32$ 인 i 에 대해서 $n = 2i-1$ 이면,

$$\begin{aligned} R_{n+1} &= L_n + ((R_n \ll 4 \oplus R_n \gg 5) + R_n) \\ &\oplus ((i-1) \cdot \delta \gg 11) \& 3), \end{aligned}$$

$n = 2i$ 이면,

$$\begin{aligned} R_{n+1} &= L_n + ((R_n \ll 4 \oplus R_n \gg 5) + R_n) \\ &\oplus (i \cdot \delta + K[(i \cdot \delta \gg 11) \& 3]). \end{aligned}$$

여기서, $+$ 는 덧셈연산, \oplus 는 비트별 XOR 연산, \cdot 는 곱셈연산, $\&$ 는 비트별 AND 연산을 나타낸다. 그림 1은 $n = 2i$ 일 때 XTEA의 라운드 함수를 표현한 것이다. XTEA는 TEA와는 달리 불규칙적인 키 스케줄을 갖는다. 아래의 표 2는 전체

64 라운드에 사용되는 부분키를 설명한 것이다.

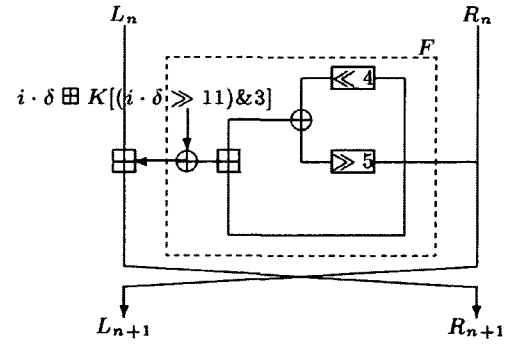


그림 1 XTEA의 라운드 ($n=2i$) 함수

표 2. XTEA의 키 스케줄

R	1	2	3	4	5	6	7	8
Key	K[0]	K[3]	K[1]	K[2]	K[2]	K[1]	K[3]	K[0]
R	9	10	11	12	13	14	15	16
Key	K[0]	K[0]	K[1]	K[3]	K[2]	K[2]	K[3]	K[1]
R	17	18	19	20	21	22	23	24
Key	K[0]	K[0]	K[1]	K[0]	K[2]	K[3]	K[3]	K[2]
R	25	26	27	28	29	30	31	32
Key	K[0]	K[1]	K[1]	K[1]	K[2]	K[0]	K[3]	K[3]
R	33	34	35	36	37	38	39	40
Key	K[0]	K[2]	K[1]	K[1]	K[2]	K[1]	K[3]	K[0]
R	41	42	43	44	45	46	47	48
Key	K[0]	K[3]	K[1]	K[2]	K[2]	K[1]	K[3]	K[1]
R	49	50	51	52	53	54	55	56
Key	K[0]	K[0]	K[1]	K[3]	K[2]	K[2]	K[3]	K[2]
R	57	58	59	60	61	62	63	64
Key	K[0]	K[1]	K[1]	K[0]	K[2]	K[3]	K[3]	K[2]

2. XTEA에 대한 부정차분 공격

[2]에서 홍득조 등은 23 라운드 XTEA에 대하여 부정차분 특성을 이용한 공격을 하였다. 이 절에서는 XTEA가 갖고 있는 그러한 부정차분 특성에 대하여 언급하기로 한다. 이러한 특성은 XTEA가 순환이동과 덧셈 등의 단순한 연산만을 사용하는 라운드 함수로 이루어져 있기 때문에 발생한다. 특히, mod 2^{32} 의 덧셈연산에서 carry 비트는 하위 비트에는 영향을 끼치지 않는 성질 때문에 우리는 확률 1로써 8 라운드 부정차분 특성을 꾸밀 수 있다.

(1) 8 라운드 부정차분 특성

라운드 함수의 입력차분이 오른쪽은 0이고, 왼쪽은 30번째 비트에서만 차분을 갖는 선택평문을

생각하면 확률 1을 갖는 8 라운드 부정차분 특성은 그림 2와 같이 구성된다. 그림에서 흰색 부분은 차분이 0인 부분이고, 검정색인 부분은 확률 1로 써 차분이 1인 부분으로 우리가 주의깊게 관찰할 곳이다. 여기서 회색 부분은 XTEA의 부정차분 특성에서 전혀 고려되지 않는다. 위에서 잠깐 언급했듯이, 덧셈 연산에 의한 carry bit는 하위 bit에는 영향을 끼치지 않기 때문에 왼쪽 입력값의 30번째 차분 bit는 순환이동에 의하여 8 라운드 이후의 왼쪽 출력값의 0번째 bit로 이동하게 된다.

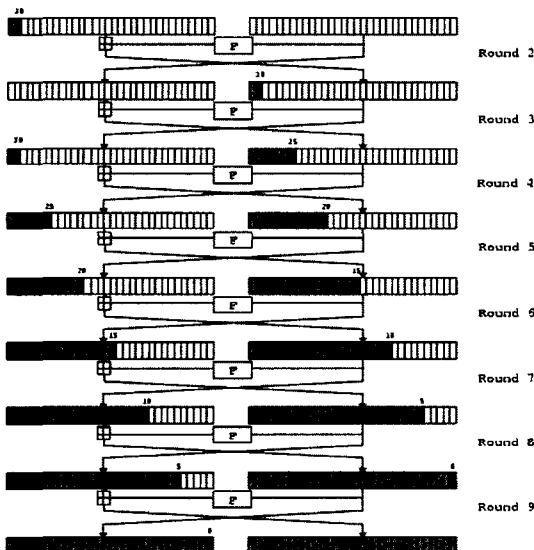


그림 2 XTEA의 8 라운드 부정차분 특성

(2) 공격 방법

1 라운드의 출력차분을 (1)에서 언급한 8 라운드 부정차분 특성을 만족하도록 하기 위한 평문구조로 꾸민다면, 위의 특성식은 실제 2 라운드부터 9 라운드까지 적용될 수 있다. 평문구조에 대한 자세한 설명은 [2]를 참조한다. 그림 3은 암호문으로부터 검정색 부분을 계산하는 방법에 대하여 나타낸 것이다. 즉 검정색 부분을 계산하기 위해서는 점으로 찍힌 부분과 회색 부분의 값을 알아야만 한다. 예를 들어, 10 라운드 왼쪽 출력값의 0번째와 5번째 bit의 차분값과 오른쪽 출력값의 0번째 차분값을 안다면 10 라운드의 왼쪽 입력차분의 검정색 부분을 계산할 수 있다. 11 라운드에서는 왼쪽 출력차분의 0~10번째 bit, 오른쪽 출력차분의 0~5번째 bit 그리고 $K[0]$ 의 0~4번째 값을 알 수 있으면 11 라운드 입력차분의 회색부분을 계산할 수 있다 - 실제로는 11 라운드 왼쪽 차분의 0번째와 5번째 bit만 계산할 수 있다 - . 이러한

방법으로 라운드 함수의 부분키 bit들을 추측함으로써 일반적인 구조 (TEA의 경우)의 17 라운드 까지 공격할 수 있다.

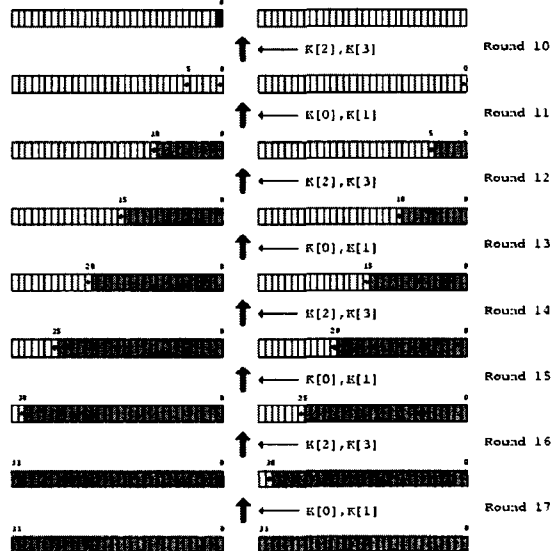


그림 3. 공격 방법

검정색 부분과 관련된 키 bit들은 매 라운드마다 5bit씩 증가한다. 그래서 17 라운드 이후의 암호문 쌍에 대하여 대응되는 라운드키를 추측하면 10 라운드 입력차분의 검정색 부분을 계산할 수 있다. 그런데, TEA와 달리 XTEA는 불규칙적인 키 스케줄을 갖는다. 표 3을 이용하면 특정한 부분키가 일정 라운드 동안은 사용되지 않는 것을 볼 수 있다. 예를 들어 24 라운드부터 30 라운드까지는 $K[3]$ 가 전혀 사용되지 않는다. 따라서, 9 라운드부터 30 라운드의 변화된 XTEA를 생각한다면 이것은 위의 공격방법에 자연스럽게 XTEA 5 라운드를 더 확장시킬 수 있음을 의미한다. 이러한 공격방법은 121-bit 비밀키를 복구하기 위해서 2^{2055} 개의 선택평문과 2^{1065} 의 암호화 과정을 요구한다.

3. 27 라운드 XTEA에 대한 연관키를 이용한 차분공격

여기서는 이 논문에서 제안하고 있는 XTEA의 연관키를 이용한 차분공격에 대하여 설명하고자 한다. 핵심 아이디어는 키 부분에 차분을 주고 그 차분을 라운드 함수의 입력차분을 이용하여 제거한 후 전체 공격하고자 하는 라운드를 늘리는 것이다. 그리고 다음 키 차분을 갖는 부분의 라운드는 2장에서 언급한 부정차분 특성을 이용하여 8

라운드 차분 특성식을 꾸민 후 위와 동일한 방법으로 공격한다.

우선, 두 개의 연관키 $K=(K[0], K[1], K[2], K[3])$ 와 $K'=(K[0]\oplus e_{30}, K[1], K[2], K[3])$ 그리고, K 에 대응하는 평문 $P=(P_L, P_R)$ 과 K' 에 대응하는 평문 $P'=(P_L \oplus e_{30}, P_R)$ 을 고려한다. 여기서 e_{30} 은 30번째 비트만 1의 값을 갖고 나머지는 0의 값을 갖는 32-bit 워드를 의미한다. 즉, $K[0]$ 의 30 번째 bit에서만 차분을 갖는 두개의 키에 대해서, 1 라운드의 왼쪽 입력 차분 또한 30번째 bit에서만 차분을 갖는 다음과 같은 1라운드 평문 구조 $S(P)$ 를 고려하면 1 라운드 이후의 출력 차분은 확률 0이 된다.

$$S(P)=\{P, P \oplus (e_{30}, 0), P \oplus (e_{30}, 0), P \oplus (e_{30} \oplus e_{30}, 0)\}$$

또한 XTEA의 키 스케줄에 의하면 2 라운드부터 7 라운드까지는 $K[0]$ 가 사용되지 않으므로 우리는 8 라운드까지 입력차분이 0인 특성식을 꾸밀 수 있다. 8 라운드의 키 차분에 의하여 왼쪽 출력은 30번째 bit가 1이 되기 때문에 우리는 2장에서 세운 부정차분 특성을 이용할 수 있고 이를 이용하여 25 라운드 XTEA의 대응되는 암호문과 $K[0], K[2], K[3]$ 의 각각 32-bit 씩 96-bit와 $K[1]$ 의 15-bit를 추측하여 16 라운드 왼쪽 입력 차분이 1인지 만족하는지를 계산함으로써 비밀키 116-bit를 복구할 수 있다.

XTEA 키 스케줄의 특이성에 의하여 이 방법은 9 라운드부터 34 라운드 까지의 XTEA 26 라운드에 대한 공격을 가능하게 한다. 공격 방법은 2라운드 평문구조를 이용한다는 것과 연관키 $K=(K[0], K[1], K[2], K[3])$ 와 $K'=(K[0], K[1]\oplus e_{30}, K[2], K[3])$ 를 이용한다는 부분에서만 상이하다. 26라운드 공격에 사용하는 평문 구조 $S'(P)$ 는 다음과 같다.

$$S'(P)=\{P\} \cup \{P \oplus (w, v) : w \in A, v \in X\}$$

여기서, X 는 다음과 같다.

$$\begin{aligned} X = & \{01000010\cdots0, 01000110\cdots0, 01001110\cdots0, \\ & 01011110\cdots0, 01111110\cdots0, 00111110\cdots0, \\ & 11000010\cdots0, 11000110\cdots0, 11001110\cdots0, \\ & 11011110\cdots0, 11111110\cdots0, 10111110\cdots0\} \end{aligned}$$

이러한 2라운드 평문구조를 이용하면 11라운드의 입력차분과 키 차분에 의하여 11라운드 출력차분이 (0, 0)이 된다. 16 라운드에서 다시 키 차분에 의한 암호문의 출력차분이 다시 발생하게 되는데 이 부분에서부터 부정차분 특성식을 꾸미게 되

면 위와 동일한 방법으로 26라운드 XTEA에 대한 비밀키 116-bit를 성공확률 96.9%로 선택평문 $(121/4 \times 12289 \approx) 2^{18.5}$ 개와 $(2116 \cdot \frac{7.5}{26} \cdot 2 \approx) 2^{115.21}$ 의 암호화 과정으로 복구할 수 있다. 이 때는 처음에 추측한 $K[0]$ 32-bit와 $K[2], K[3]$ 각각의 32-bit 그리고 $K[1]$ 의 20-bit를 복구하게 된다. 비슷한 방법으로 27 라운드부터 52 라운드까지의 26라운드 XTEA에 대한 공격 또한 가능하다.

III. 결론

이상에서 블록암호 XTEA에 대해, 부정차분공격을 개선한 연관키를 이용한 차분공격에 대하여 설명하였다. 그리고 이 공격에서 필요한 선택평문과 암호화 과정은 각각 218.5과 2115.21이었다. 즉, 26라운드로 줄인 XTEA에서는 전수조사보다 효과적인 공격이 가능하다. 앞으로 블록암호분석에 있어서 연관키를 이용한 공격방법이 많이 사용될 것으로 예상된다.

다음의 표 3은 이 논문에서 언급한 다양한 형태의 XTEA에 관한 연관키 공격을 요약한 것이다.

표 3. XTEA의 다양한 라운드에 대한 공격

Rounds	Key Bits
25:1R~25R	$K[0], K[2], K[3]: 32\text{bits}$, $K[1]: 15\text{bits}$
26:9R~34R	$K[0], K[2], K[3]: 32\text{bits}$, $K[1]: 20\text{bits}$
26:27R~52R	$K[0], K[1], K[3]: 32\text{bits}$, $K[2]: 15\text{bits}$

참고문헌

- [1] J. Kelsey, B. Schneier, and D. Wagner, "Key schedule Cryptanalysis of IDEA, G-DES, GOST, SAFER, and Triple-DES" Advances in Cryptology-CRYPTO'96, Springer-Verlag, 1996, pp.237-251.
- [2] S.Hong, D.Hong, Y.Ko, D.Jang, W.Lee, and S.Lee, "Differential Cryptanalysis of TEA and XTEA" ICISC'03, To appear.
- [3] J. Kelsey, B. Schneier, and D. Wagner, "Related Key Cryptanalysis of 3-WAY, Biham-DES, CAST, DES-X, NewDES, RC2, and TEA", ICICS'97, LNCS1334, 1997, pp. 203-207.
- [4] D. Moon, K. Hwang, W. Lee, S. Lee, and J. Lim, "Impossible Differential Cryptanalysis of Reduced Round XTEA and TEA", FSE 2002, LNCS 2365, Springer-Verlag, 2002, pp.

49-60.

- [5] E. Biham, "New Types of Cryptanalytic Attacks Using Related Keys.", Advances in Cryptology - EUROCRYPT '93, Springer-Verlag, 1994, pp. 398-409.
- [6] D. J. Wheeler and R. M. Needham, "TEA, a Tiny Encryption Algorithm", FSE'94, LNCS 1008, Springer-Verlag, 1994, pp. 97-110.
- [7] R.M.Needham and D. J. Wheeler, "eXtended Tiny EncryptionAlgorithm", October, 1997.
- [8] A.Biryukov, D.Wagner, "Slide Attack" FSE'99, LNCS 1636, Springer-Verlag, 1999, pp. 245-259.
- [9] G.Jakimoski and Y.Desmedt "Related Differential Cryptanalysis of 192-bits Key AES Variants", SAC'03, To appear.